

удк 539.50

ТЕОРИЯ УПРУГОСТИ

А. Б. Багдасарян

О распространении упругих волн в полуограниченном разномодульном упругом стержне

(Представлено академиком АН Армянской ССР С. А. Амбарцумяном 17/IV 1968)

Некоторые материалы при сжатии и растяжении обнаруживают разные модели упругости.

Вопросы теории деформации разномодульных материалов и решение конкретных задач рассмотрены в работах $(^{1-3})$.

Здесь рассматривается задача о вынужденных колебаниях полуограниченного разномодульного упругого стержня.

Пусть на конце полуограниченного разномодульного упругого стержня действует продольная знакопеременная сила. Под воздействием такой силы по стержню будут распространяться упругие волны, меняющие напряженное состояние стержня (при наличии упругих волн часть стержня может оказаться растянутой, часть—сжатой, а часть—находится в ненапряженном состоянии).

Общие решения волновых уравнений для областей сжатия и растяжения соответственно имеют вид

$$u_{c} = f_{1} (c^{+}t - x) + f_{2} (c^{+}t + x),$$

$$u_{p} = \varphi_{1} (c^{-}t - x) + \varphi_{2} (c^{-}t + x), c^{+} = \sqrt{\frac{E^{+}}{\rho}}, c^{-} = \sqrt{\frac{E^{-}}{\rho}}, (1)$$

где u_c , u_p — смещения в областях сжатия и растяжения, c^+ , c^- — скорости звука в областях сжатия и растяжения, E^+ , E^- — модули Юнга в областях сжатия и растяжения, ρ — плотность, x — расстояние, t — время, f_1 , f_2 , φ_1 , φ_2 — произвольные функции.

При решении конкретных задач возможны две схемы распро-

странения волн:

- 1) характеристики областей сжатия и растяжения не пересекаются;
 - 2) характеристики областей сжатия и растяжения пересекаются.
- В первой схеме решение задачи нужно искать в виде расходящей волны, поэтому неизвестные функции будут только $f_1(c^+t-x)$ и $f_1(c^-t-x)$, которые должны быть найдены из граничных условий.

Первую схему получим, если в начале $(0 \le t \le t_1)$ действующая сила сжимающая $-P_1(t)$, затем $(t_1 \le t \le t_2)$ — растягивающая $-P_2(t)$, а при $t > t_2$ пусть действующая сила P(t) = 0, и $c^+ > c^-$. Граничными условиями являются

$$\frac{\partial u_c}{\partial x}\bigg|_{\substack{x=0,\\0 < t < t_1}} = -\frac{P_1(t)}{E^+}, \frac{\partial u_p}{\partial x}\bigg|_{\substack{x=0,\\t_1 < t < t_2}} = \frac{P_2(t)}{E^-}, \frac{\partial u}{\partial x}\bigg|_{\substack{x=0,\\t > t_2}} = 0.$$
 (2)

Из (1) и (2) с учетом начального условия u(x, 0) = 0, получим следующее решение первой схемы:

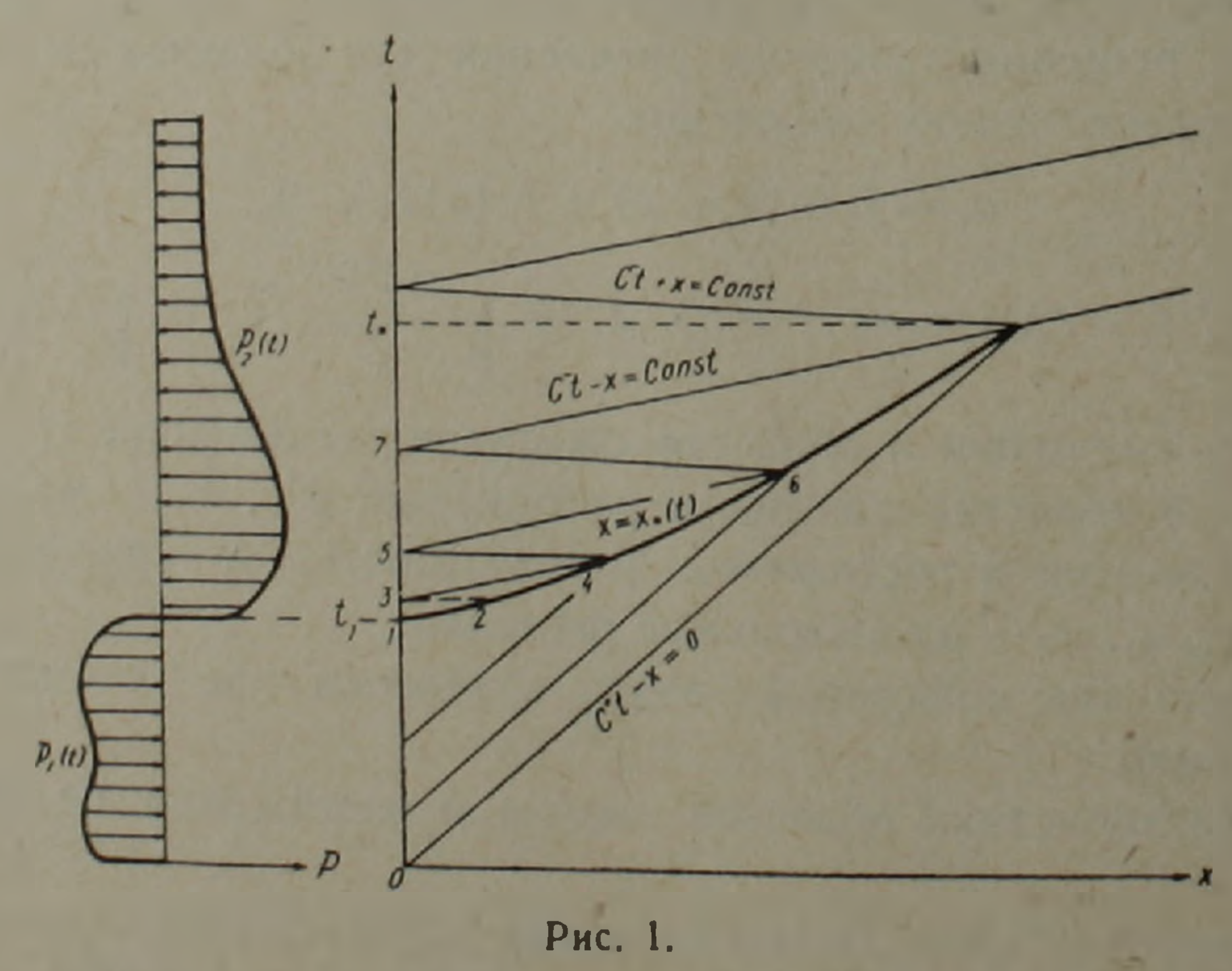
$$u(x, t) = \begin{cases} 0, & 0 < t < x/c^{+}, \\ \frac{1}{E^{+}} \cdot \int_{0}^{c^{+}t_{-}x} P_{1}(\tau) d\tau, & x/c^{+} \leq t \leq t_{1} + x/c^{+}, \\ \frac{1}{E^{+}} \cdot \int_{0}^{c^{+}t_{1}} P_{1}(\tau) d\tau, & t_{1} + x/c^{+} < t < t_{1} + x/c^{-}, \end{cases}$$

$$= \begin{cases} \frac{1}{E^{+}} \cdot \int_{0}^{c^{+}t_{1}} P_{1}(\tau) d\tau - \frac{1}{E^{-}} \cdot \int_{c^{-}t_{1}}^{c^{-}t_{-}x} P_{2}(\tau) d\tau, & t_{1} + x|c^{-} \leq t \leq t_{2} + x|c^{-}, \end{cases}$$

$$= \begin{cases} \frac{1}{E^{+}} \cdot \int_{0}^{c^{+}t_{1}} P_{1}(\tau) d\tau - \frac{1}{E^{-}} \cdot \int_{c^{-}t_{1}}^{c^{-}t_{2}} P_{2}(\tau) d\tau, & t > t_{2} + x/c^{-}. \end{cases}$$

$$= \begin{cases} \frac{1}{E^{+}} \cdot \int_{0}^{c^{+}t_{1}} P_{1}(\tau) d\tau - \frac{1}{E^{-}} \cdot \int_{c^{-}t_{2}}^{c^{-}t_{2}} P_{2}(\tau) d\tau, & t > t_{2} + x/c^{-}. \end{cases}$$

Схема распространения волн для второго случая приведена на рис. 1, где кривая $x=x_*\left(t\right)$ показывает закон распространения гра-



ницы между областями сжатия и растяжения, наклонные линии—характеристики в разных областях, а $P_1(t)$ и $P_2(t)$ —законы изменения действующей силы на конце стержня.

Распространение волн развивается следующими стадиями:

1) упругая волна сжатия распространяется по невозмущенному стержню ($\mathbf{x}/c^+ \leqslant t \leqslant t_1 + x/c^-$);

2) в момент $t=t_1$, когда на конце стержня действующая сила меняет знак, по сжатой зоне рапространяется ударная волна разряжения $x=x_*(t)$; за фронтом $x=x_*(t)$ —область растяжения стержня;

3) в момент $t = t_*$, когда ударный фронт $x = x_*(t)$ достигает характеристики $c^+t - x = 0$, в стержне остается только область растяжения; распространение упругих волн продолжается.

Решение первой стадии дается формулами (3). Во второй стадии неизвестными функциями являются $\varphi_1(c^-t-x)$, $\varphi_2(c^-t+x)$, $x_*(t)$, а функция $f_1(c^+t-x)$ известна из решения первой стадии (3). Эти функции должны быть найдены из условия на конце стержня (второе условие из (2)) и условий на фронте $x=x_*(t)$. Условия на $x=x_*(t)$ являются обычными условиями сильного разрыва, т. е. условие сохранения массы (которое при описании лагранжевыми координатами совпадает с условием непрерывности смещения) и условие непрерывности импульса:

$$u_c = u_p, \quad - \cdot \cdot_c + \sigma_p = \rho x_* (t) \cdot (v_c - v_p). \tag{4}$$

Из (1), (2) и (4) получим следующую систему функциональнодифференциальных уравнений для определения искомых функций во второй стадии

$$\begin{split} E^{-}\left[\varphi_{2}\left(\xi^{0}\right)-\varphi_{1}^{'}\left(\xi^{0}\right)\right]&=P_{2}\left(t\right),\\ (c^{+})^{2}\cdot P_{1}\left(t\right)+\left[\varphi_{2}\left(\eta\right)-\varphi_{1}\left(\xi\right)\right]E^{+}\cdot\left(c^{+}\right)^{2}&=E^{+}\ c^{-}x_{*}\left(t\right)\left[\varphi_{1}^{'}\left(\xi\right)+\varphi_{2}\left(\eta\right)\right]-\\ &-x_{*}\left(t\right)c^{+}\cdot P_{1}\left(t\right),\ \varphi_{1}\left(\xi\right)+\varphi_{2}\left(\eta\right)&=\frac{1}{E^{+}}\int_{0}^{t}P_{1}\left(\zeta\right)d\zeta,\\ \xi^{0}&=c^{-}t,\ \xi=c^{-}t-x_{*}\left(t\right),\ \eta=c^{-}t+x_{*}\left(t\right),\ \zeta=c^{+}t-x_{*}\left(t\right). \end{split}$$

В системе (5) одна из неизвестных функций $x_*(t)$ входит в аргументы других и это осложняет процедуру ее решения. Если однако, решение системы (5) известно в малой окрестности точки $t=t_1$, $x_*=0$, то решение можно построить.

Решение в окрестности точки $t=t_1$, $x_*=0$, можно построить, разлагая все искомые функции в ряды и подставив их в систему (5), которая тем самым сводится к совокупности алгебраических уравнений для определения коэффициентов разложений. Минимальное число коэффициентов разложений можно найти прямо из системы (5), не пользуясь фактической подстановкой рядов. В формуле для смещений (1) фигурирует сумма $\varphi_1(\xi) + \varphi_2(\eta)$, поэтому одну из этих величин $\varphi_1(\xi_0)$, $\varphi_2(\eta_0)$ можно задавать произвольно (положить, например $\varphi_2(\eta_0)=0$). Из системы (5), при $t=t_1$, $x_*=0$, будем иметь

$$\xi = \xi_0 = c^- \cdot t_1, \ \eta = \eta_0 = c^- t_1, \ \zeta = \zeta_0 = c^+ t_1, \ x_* \ (t_1) = 0,$$

$$\varphi_1 \left(\xi_0 \right) = \frac{1}{E^+} \int_0^{\zeta_0} P_1 \left(\tau \right) \, d\tau, \ \varphi_2 \left(\eta_0 \right) = 0,$$

$$\dot{x}_{*}(t_{1}) = \frac{P_{1}(t_{1}) c^{+} E^{-}}{2 \left[P_{1}(t_{1}) \cdot E^{-} - P_{2} \cdot (t_{1}) \cdot E^{+}\right]} + \frac{\{P_{1}^{2}(t_{1}) \cdot (c^{+})^{2} E^{-} + 4E^{-} \left[P_{1}(t_{1}) \cdot E^{-} - P_{2}(t_{1}) E^{+}\right] \left[P_{1}(t_{1}) - P_{2}(t_{1})\right]\}^{1/2}}{2 \left[P_{1}(t_{1}) E^{-} - P_{2}(t_{1}) E^{+}\right]}, (6)$$

$$\phi'(\xi_{0}) = \frac{1}{2} \left[A - \frac{P_{2}(t_{1})}{E^{-}}\right], \quad \varphi_{2}(\eta_{0}) = \frac{1}{2} \left[A + \frac{P_{2}(t_{1})}{E^{-}}\right],$$

$$A = \frac{P_{1}(t_{1})}{2E^{+}} \cdot \frac{c^{+}}{c^{-}} - \frac{c^{+}}{2c^{-}E^{+}} \left\{P_{1}^{2}(t_{1}) + 4E^{+} \left[P_{1}(t_{1}) + P_{2}(t_{1})\right] \times \left[\frac{P_{1}(t_{1})}{E^{+}} - \frac{P_{2}(t_{1})}{E^{-}}\right]\right\}^{1/2}.$$

Производные более высоких порядков можно определить, если продифференцировать уравнения системы (5) и подставить $t=t_1,\ x_*=0$.

Надобности определения производных высоких порядков нет, так как задачу нужно решать численно.

Построение решение системы (5) поясним при помощи графической схемы (рис. 1). Пусть описанным выше способом построено решение в малом треугольнике 123, где 1-2—начальный участок кривой $x=x_*(t)$, а t_3-t_1 —достаточно малая величина. Проводим из точки 3 характеристику $\xi=c^-t-x=c^-\cdot t_3$. Она пересечет кривую $x=x_*(t)$ в некоторой точке 4. Так как решение в треугольнике 123 известно, функция $\varphi_1(\xi)$ будет известна в интервале $c^-t_1 \leqslant c^-t_3$. Во втором и в третьем уравнениях системы (5) функция $\varphi_1(\xi)$ таким образом известна, неизвестны только $\varphi_2(\eta)$ и $x_*(t)$. Рассматривая их как функции от аргумента $\xi=c^-t-x_*(t)$, с учетом формулы перехода

$$\frac{d}{d\eta} = \frac{d}{d\xi} \cdot \left[2c^{-1} \cdot \frac{dt}{d\xi} - 1 \right]^{-1}, \quad \frac{d}{dt} = \frac{d}{d\xi} \left(\frac{dt}{d\xi} \right)^{-1}, \tag{7}$$

второе и третье уравнение системы (5) сводится к следующему:

$$P_{1}(\xi) + E^{-} \left[\frac{\psi'(\xi)}{2c^{-}t'(\xi) - 1} - \varphi_{1}(\xi) \right] = \frac{1 - c^{-}t'(\xi)}{c^{+}t'(\xi)} \cdot \left\{ \frac{E^{+}c^{-}}{c^{+}} \left[\varphi_{1}'(\xi) + \frac{\psi'(\xi)}{2c^{-}t'(\xi) - 1} \right] - 1 \right\}, \quad \varphi_{1}(\xi) + \psi(\xi) = \frac{1}{E^{+}} \int_{0}^{\xi} P_{1}(\zeta) d\zeta, \tag{8}$$

где $\psi(\xi) = \varphi_2(\eta), \frac{\psi'(\xi)}{2c - t'(\xi) - 1} = \varphi_2(\eta), \text{ а функции } \varphi_1(\xi), \varphi_1(\xi) - \text{изве-}$

стны. Необходимые начальные данные в точке 2 можно получить из асимптотических решений (6). Таким образом, в интервале $c^{-t} \le c^{-t}$ задача сводится к задаче Коши для системы (8) для определения $\psi(\xi)$ и $t(\xi)$. Проводим теперь из точки t характеристику t в интервале t на t

(5), где φ_1 (ξ^c)—известная функция. Здесь опять ставится задача Ко-ши, начальные данные которой берутся в точке 3. Решая эту задачу, определим φ_1 (ξ) в интервале $c^-t_3 \ll \xi \ll c^-t_5$. Затем проводим через точку 5 характеристику $\xi = c^-t - x = c^-t_5$, которая пересечет кривую $x = x_*(t)$ в следующей точке 6. Задача определения функции $\varphi_2(\eta)$, $x_*(t)$ для отрезка 4-6 будет совпадать с предыдущей, так как эти функции определяются при помощи системы (8), но с новыми начальными условиями, определяемыми в точке 4 и для нового интервала изменения независимой переменной, примыкающей к предыдущему. Решив эту задачу, перейдем опять на прямую x=0. Эту процедуру продолжим до момента $t=t_*$, когда фронт $x=x_*(t)$ догонит характеристику $c^+t-x=0$. После этого момента возникнет третья стадия и решение совпадает с решением (3) для растянутой области с учетом мементов $t>t_*-x_*(t_*)c^-$.

Для конкретных нагрузок, решение задачи можно построить при помощи комбинации решений первой и второй схемы распространения упругих волн.

Ереванский политехнический институт им. К. Маркса

Ա. թ. ԲԱՂԴԱՍԱՐՅԱՆ

Առաձգական ալիքների տարածումը կիսասանմանափակ տարամոդուլ ձողում

Կիսասա մանափակ տարամոդուլ առաձդական ձողի ծայրում կիրառված է նշանափոխ ուժ։
Խնդրի լուծումը ներկայացված է հրկու սխեմաների կոմբինացիայով։ Առաջինի լուծումը բերված և (3)-ում, իսկ երկրորդինը (դծ. 1)՝ որոշվում է (5) ֆունկցիոնալ-դիֆերենցիալ Հավասաբումների սիստեմից։ (5) սիստեման բերված է սովորական դիֆերենցիալ Հավասարումների հոչու խնդիրների հաջորդականության։

ЛИТЕРАТУРА—ЧРЦЧКЫПЬРЗПЬЕ

¹ С. А. Амбарцумян, А. А. Хачатрян, Основные уравнения теории упругости для материалов разносопротивляющихся растяжению и сжатию, Инж. ж. МТТ, № 2, 1966. ² С. А. Амбарцумян, А. А. Хачатрян, К разномодульной теории упругости. Ниж. ж. МТТ, № 6, 1966. ³ А. А. Хачатрян, О продольных колебаниях призматических стержней, изготовленных из разномодульного материала, Инж. ж. МТТ, № 5, 1967.